

# 三维简化 Navier-Stokes 方程的最优形式

王汝权

高智

(中国科学院计算中心)

(中国科学院力学研究所)

## 引言

最近十多年,简化NS方程(以下记为SNS)的研究和计算有长足进展<sup>[1,2]</sup>。由于在NS方程组中对粘性项的取舍不同,因而有几种不同的简化NS方程组<sup>[1,2]</sup>,究竟哪种形式更合理,是需进一步探讨的一个问题。文献[1]利用原始NS方程及三种不同的简化NS方程组,对球的超音速绕流数值试验表明,其效果是不一样的。文献[3]也指出,如果SNS方程组的形式选择不当,会带来不可忽略的误差。从二维研究不难看出,目前广泛采用的三维SNS方程即粘性激波层方程组(VSL)<sup>[4]</sup>及抛物化NS方程组(PNS)<sup>[5]</sup>,都不是最合理的简化形式。本文提出三维NS方程组的一种最好形式,称为修正的PNS方程组(记为MPNS),并论证它的合理性及精确度。

## 一、NS方程的简化形式

文献[1]对现有的三种二维SNS方程组作了比较,假定无粘项相同,而粘性项量阶按小参数 $\epsilon = Re^{-1/2}$ ( $Re$ 代表来流的雷诺数)估计。根据保留粘性项的不同,可分为四种形式:组I为完全NS方程,组II为粘性项保留到 $O(\epsilon)$ 量阶的方程,组III为粘性项保留到 $O(1)$ 量阶的方程(即PNS),组IV为组II中法向动量方程只留下无粘项的方程(即VSL)。文献[1]用以上四组方程计算了球的超音速绕流流场。主要结论是:在高马赫数及低雷诺数(最低为 $10^2$ )或高雷诺数和低马赫数条件下,组III的数值结果与组I(即NS方程)的解相差很大,壁面热流的误差可高达30%;而组II和组IV都能较好地逼近NS方程(组I)的解,它们的数值误差不超过5%。此外,文献[3]研究了不可压二维驻点流,其结果进一步表明,组II的精确解与NS方程的精确解是一致的,而组IV原则上不适用于驻点流,它给出的压力有100%的相对误差。这与简化NS方程的前提,即流场中存在一主流方向是相符的。以上研究表明,粘性项保留到 $O(\epsilon)$ 量阶的方程组(组II)是最合理的形式。

本文于1984年12月15日收到,1985年3月19日收到修改稿。

## 二、简化方程的推导原则

用不同的方法<sup>[5-8]</sup>推导简化 NS 方程, 所得到的方程组也不相同, 这与推导原则有关。文献[6]提出的两层近似分析思想是比较合理的, 它将计算区域分为内层(粘流层)及外层(无粘流层), 并对内、外两层分别作量阶估计, 然后在两层的交界线(面)上使偏微分方程组能够光滑地联结(见图 1)。同时证明, 按 Prandtl 的边界层理论, 保留到  $O(\epsilon)$  量阶的内层方程组(能光滑过渡为欧拉方程), 就是满足上述要求的方程组, 即为本文所指的简化 NS 方程组的合理形式, 此结论与文献[1]的数值结果是一致的。

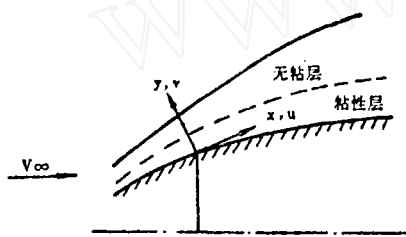


图 1 两层模型示意图

对不可压三维驻点附近和旋转圆盘附近的流动, 文献[3]求得形式 II 的方程组的精确解与完全 NS 方程的精确解是一致的。由此得出, 从二维问题分析得到的 NS 方程组的简化原则及其推导方法, 对三维流动问题应是同样适用的。本文的分析, 也证明了这一点。

## 三、修正的抛物化 NS 方程(MPNS)

在工程应用中, 三维流场的计算是更为人们关心的, 自然要考虑使用最合理的简化 NS 方程。然而, 目前通用的两组方程<sup>[2]</sup>并不是最合理的。第一组为三维粘性激波层方程, 它可以看成二维方程 IV 的推广。其缺点是周向的扩散项被略去, 对大攻角或出现大范围侧向分离流时是不适应的<sup>[4]</sup>。第二组称三维抛物化 NS 方程<sup>[5,7]</sup>, 它虽然保留了周向扩散项, 但其粘性项只保留  $O(1)$  量阶项, 即相当于二维情形的方程组 III。文献[1]指出, 这类方程组在某些来流条件下, 它的解与 NS 方程的解误差很大。因此, 对三维流动仍按两层模型分析是比较合理的(见图 2)。我们将以它为根据来导出 MPNS 方程组。

设  $x, y, \varphi$  分别代表边界层坐标系的三个分量(图 3),  $u, v, w$  为相应的速度分量, 而  $\rho, p, T, \mu, \lambda$  分别代表密度、压力、温度、粘性系数及导热系数。各量的无量纲因子对应如下:

$$x, y, r \sim L \text{ (物体特征长度)}$$

$$u, v, w \sim V^{\infty} \text{ (来流速度)}$$

$$\rho \sim \rho_{\infty}$$

$$p \sim \rho_{\infty} V_{\infty}^2$$

$$T \sim V_\infty^2 / C_p \quad (C_p \text{ 为定压比热})$$

$$\mu \sim \mu_\infty$$

$$\lambda \sim \lambda_\infty$$

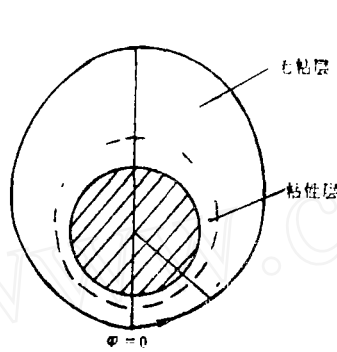


图 2 三维流两层模型截面图

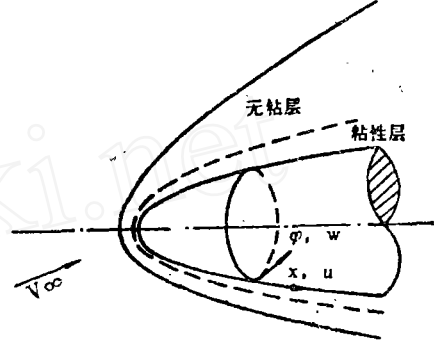


图 3 边界层坐标系

在此情形下, 对三维 NS 方程可用下列量级估计:

外层(无粘流):

$$x \sim O(L), \quad y \sim O(L), \quad L\varphi \sim O(L)$$

$$u \sim O(V_\infty), \quad v \sim O(V_\infty), \quad w \sim O(V_\infty)$$

内层(粘性流):

$$x \sim O(L), \quad y \sim O(L\epsilon), \quad L\varphi \sim O(L\epsilon)$$

$$u \sim O(V_\infty), \quad v \sim O(\epsilon V_\infty), \quad w \sim O(\epsilon V_\infty)$$

不失一般性, 本文只对球-锥绕流情形写出 MPNS 方程组:

$$\frac{\partial \rho u r}{\partial x} + \frac{\partial \rho v r H}{\partial y} + \frac{\partial \rho w H}{\partial \varphi} = 0 \quad (1)$$

$$\begin{aligned} & -\frac{\rho u}{H} \frac{\partial u}{\partial x} + \rho v \frac{\partial u}{\partial y} + \frac{\rho w}{r} \frac{\partial u}{\partial \varphi} + \frac{K}{H} \rho u v - \frac{\sin \theta}{r} \rho w^2 + \frac{\partial p}{H \partial x} \\ & = \frac{1}{R_c} \frac{\partial}{\partial y} \left( \mu \frac{\partial u}{\partial y} \right) + \frac{1}{R_c r} \frac{\partial}{\partial \varphi} \left( \frac{\mu}{r} \frac{\partial u}{\partial \varphi} \right) \\ & + \frac{\mu}{R_c} \left( \frac{K}{H} + \frac{\cos \theta}{r} \right) \frac{\partial u}{\partial y} - \frac{K u}{R_c H} \frac{\partial \mu}{\partial y} \end{aligned} \quad (2)$$

$$\begin{aligned} & -\frac{\rho u}{H} \frac{\partial v}{\partial x} + \rho v \frac{\partial v}{\partial y} + \frac{\rho w}{r} \frac{\partial v}{\partial \varphi} - \frac{K}{H} \rho u^2 - \frac{\cos \theta}{r} \rho w^2 + \frac{\partial p}{\partial y} \\ & = \frac{4}{3 R_c} \frac{\partial}{\partial y} \left( \mu \frac{\partial v}{\partial y} \right) + \frac{1}{R_c r^2} \frac{\partial}{\partial \varphi} \left( \mu \frac{\partial v}{\partial \varphi} \right) + \frac{1}{R_c r} \frac{\partial}{\partial \varphi} \left( \mu \frac{\partial w}{\partial y} \right) \\ & - \frac{2}{3 R_c} \frac{\partial}{\partial y} \left( \frac{\mu}{r} \frac{\partial w}{\partial \varphi} \right) + \frac{\sin \theta \mu}{R_c r} \frac{\partial u}{\partial y} - \frac{2}{3 R_c} \frac{\partial}{\partial y} \left( \frac{\sin \theta}{r} \mu u \right) \end{aligned} \quad (3)$$

$$\begin{aligned} & \frac{\rho u}{H} \frac{\partial w}{\partial x} + \rho v \frac{\partial w}{\partial y} + \frac{\rho w}{r} \frac{\partial w}{\partial \varphi} + \frac{\rho w}{r} (u \sin \theta + v \cos \theta) + \frac{1}{r} \frac{\partial p}{\partial \varphi} \\ &= \frac{1}{R_e} \frac{\partial}{\partial y} \left( \mu \frac{\partial w}{\partial y} \right) + \frac{4}{3R_e r^2} \frac{\partial}{\partial \varphi} \left( \mu \frac{\partial w}{\partial \varphi} \right) + \frac{1}{R_e} \frac{\partial}{\partial y} \left( \frac{\mu}{r} \frac{\partial w}{\partial \varphi} \right) \\ & \quad - \frac{2}{3R_e r} \frac{\partial}{\partial \varphi} \left( \mu \frac{\partial v}{\partial y} \right) + 2 \frac{\sin \theta}{r^2} \mu \frac{\partial u}{\partial \varphi} \end{aligned} \quad (4)$$

$$\begin{aligned} & \frac{\rho u}{H} \frac{\partial T}{\partial x} + \rho v \frac{\partial T}{\partial y} + \frac{\rho w}{r} \frac{\partial T}{\partial \varphi} - \left( \frac{u}{H} \frac{\partial p}{\partial x} + v \frac{\partial p}{\partial y} \right. \\ & \quad \left. + \frac{w}{r} \frac{\partial p}{\partial \varphi} \right) = \frac{1}{R_e P_r} \frac{\partial}{\partial y} \left( \mu \frac{\partial T}{\partial y} \right) + \frac{1}{R_e P_r r^2} \frac{\partial}{\partial \varphi} \left( \mu \frac{\partial T}{\partial \varphi} \right) \\ & \quad + \frac{\mu}{R_e P_r} \left( \frac{K}{H} + \frac{\cos \theta}{r} \right) \frac{\partial T}{\partial y} + \Phi \end{aligned} \quad (5)$$

$$p = \frac{\gamma - 1}{\gamma} \rho T \quad (6)$$

$$\Phi = \frac{\mu}{R_e} \left( \frac{\partial u}{\partial y} - K \frac{u}{H} \right)^2 + \frac{\mu}{R_e} \left( \frac{1}{r} \frac{\partial u}{\partial \varphi} \right)^2 \quad (7)$$

其中

$$R_e = \frac{\rho_\infty V_\infty L}{\mu_\infty} \text{ 为雷诺数}$$

$$P_r = \frac{\mu}{\lambda} C_p \text{ 为普朗特数}$$

$$r = r_0(x) + y \cos \theta$$

$$H = 1 + Ky$$

$r_0(x)$ ——从物面到对称轴的垂直距离

$K = K(x)$ ——沿  $x$  方向的物面曲率

$\theta = \theta(x)$ ——物面切线与对称轴的夹角

$\gamma$ ——比热比

VSL 及 PNS 方程组已在文献[2]中详细写出,不再重复。MPNS 方程组包含了 PNS 方程组并附加上  $O(\epsilon)$  量阶的少数项(公式中带横杠的部份),但 MPNS 方程中耗散项  $\Phi$ (见公式 7)已简化成与三维边界层情形相同。此外,在内层方程中保留了  $O(\epsilon^2)$  量阶项  $\rho v^2$  及  $\rho w v$ ,从而能保证内层方程光滑过渡到外层方程。

还应指出,推导 MPNS 及 PNS 方程组的原则以及对横向运动参量的量级处理,都是完全不同的。

#### 四、MPNS 方程组的精度

利用文献[6]中的渐近展开方法, 可以证明, 全流场(包括无粘流及粘性边界层)可获得精度为  $O(\varepsilon)$  ( $\varepsilon = Re^{-1/2}$ ) 的均匀一致解。这里不写出全部证明过程, 仅简述一下证明思路。

假定在内层 ( $0 \leq y \leq \delta$ ), NS 方程的解可展开成  $\varepsilon$  的幂级数:

$$\begin{aligned} \frac{u}{V_\infty} &= u_{i0} + \varepsilon u_{i1} + \varepsilon^2 u_{i2} + \dots \\ \frac{v}{\varepsilon V_\infty} &= v_{i0} + \varepsilon v_{i1} + \varepsilon^2 v_{i2} + \dots \\ \frac{w}{\varepsilon V_\infty} &= w_{i0} + \varepsilon w_{i1} + \varepsilon^2 w_{i2} + \dots \\ \rho/\rho_\infty &= \rho_{i0} + \varepsilon \rho_{i1} + \varepsilon^2 \rho_{i2} + \dots \\ \mu/\mu_\infty &= \mu_{i0} + \varepsilon \mu_{i1} + \varepsilon^2 \mu_{i2} + \dots \\ [p(X, Y, \Psi) - p_w(X)]/(\varepsilon \rho_\infty V_\infty^2) & \\ &= p_{i0} + \varepsilon p_{i1} + \varepsilon^2 p_{i2} + \dots \end{aligned} \quad (8)$$

其中

$$\begin{aligned} X &= x/L, \quad Y = y(\varepsilon a), \quad \Psi = \varphi/\varepsilon \\ \frac{\partial}{\partial X} &= \frac{\partial}{\partial Y} = \frac{\partial}{\partial \Psi} = O(1), \quad u_{i0}, u_{i1}, \dots \end{aligned}$$

诸量及其相对于  $X, Y, \Psi$  的偏导数均为  $O(1)$  量阶。把展开式(8)代入完全NS方程组<sup>[9]</sup>, 比较  $\varepsilon$  同次幂得到相应于  $O(\varepsilon^0)$ 、 $O(\varepsilon^1)$ ……的方程组。

另一方面, 在  $y > \delta$  的无粘外层内, NS 方程的解又可展开成  $\varepsilon$  的下列幂级数:

$$\begin{aligned} u/V_\infty &= u_{e0} + \varepsilon u_{e1} + \varepsilon^2 u_{e2} + \dots \\ v/V_\infty &= v_{e0} + \varepsilon v_{e1} + \varepsilon^2 v_{e2} + \dots \\ w/V_\infty &= w_{e0} + \varepsilon w_{e1} + \varepsilon^2 w_{e2} + \dots \\ \rho/\rho_\infty &= \rho_{e0} + \varepsilon \rho_{e1} + \varepsilon^2 \rho_{e2} + \dots \\ p(X, Y_e, \varphi)/(\rho_\infty V_\infty^2) &= p_{e0} + \varepsilon p_{e1} + \varepsilon^2 p_{e2} + \dots \end{aligned} \quad (9)$$

其中  $Y_e = y/L$ ,  $u_{e0}, u_{e1}, \dots$  诸量及相对于  $X, Y_e$  及  $\varphi$  的偏导数均为  $O(1)$  量阶, 将(9)代入NS方程组, 比较  $\varepsilon$  的同次幂便得到相应于  $O(\varepsilon^0)$ 、 $O(\varepsilon^1)$ ……的方程组。

联立内、外层相应于  $O(\varepsilon^0)$  的方程组将得到全流场精确到  $O(1)$  量阶的均匀一致解; 联合内、外层相应于  $O(\varepsilon^0)$  及  $O(\varepsilon^1)$  的方程组, 则得到全流场精确到  $O(\varepsilon)$  量阶的均匀一致解。我们再将 MPNS 方程组与上述内、外层相应于  $O(\varepsilon^0)$  及  $O(\varepsilon^1)$  的联合方程组相比较, 则得下列关系式

$$|u/V_\infty - (u_{e0} + \varepsilon u_{e1})| \leq O(R_\varepsilon^{-1}), \quad 0 \leq y \leq \delta$$

$$|u/V_\infty - (u_{e0} + \varepsilon u_{e1})| \leq O(R_\varepsilon^{-1}), \quad y \geq \delta$$

对其他因变量, 上述不等式同样成立。因此, MPNS 方程组的解是适用于全流场, 精度为  $O(\varepsilon)$  量阶的均匀一致解。

### 参 考 文 献

- [1] Емельянцева, З. И., Павлов, Е. М., Бчислительные Методы и Программирование, No. 34, (1981).
- [2] 王汝权、焦履琼、刘学宗, 空气动力学学报, 1 (1984).
- [3] 高 智, 简化 NS 方程组的几个精确解, 力学学报 3 (1985).
- [4] Murray, A. L., Lewis, C. H., AIAA Paper 78-259 (1978).
- [5] Lohard, S. C., Rakich, J. V., AIAA Paper 75-149 (1975).
- [6] 高 智, 力学学报, 6 (1982).
- [7] Rubin, S. G., Lin, T. C., *J. Computational Physics*, 9, 2 (1972).
- [8] Ковня, В. М., Яненко, И. Н., Метод расщепления в Задачах газовой динамики, (1981).
- [9] Ho Hungta, Probstein, R. F., *Rarefied gas dynamics*, ed. Talbot (1961).

## AN OPTIMAL FORMULATION OF SIMPLIFIED THREE-DIMENSIONAL NAVIER- STOKES EQUATIONS

Wang Ruquan

(The Computing Center, Academia, Sinica, Beijing)

Gao Zhi

(Institute of Mechanics, Academia Sinica, Beijing)

### Abstract

At present there are various simplified formulations of the compressible Navier-Stokes equations in two-dimensional<sup>[1]</sup> and three-dimensional<sup>[2]</sup> flows. Unfortunately, up to now there is no uniform principle for the derivation of them. We think that the basic principle presented by the second author of the paper[6] is more suitable not only in theory but also in practice.

In this paper we will expand the principle mentioned above to three-dimensional flow and give a new system called MPNS, which formally has less difference from the parabolized Navier-stokes equations (PNS)<sup>[3,7]</sup>. However, the new system of equations will be better approximation to the full N-S equations in our opinion.